

# 研究工作報告

(內部資料)

題目：摻鈸鈸酸鈣的熒光絕對量子效率

著者：黃永楷 吳光熙

中國科學院光学精密机械研究所上海分所

1965

# 摻鈸鈷酸鈣的熒光絕對量子效率

黃永楷 吳光煥

(1965年6月)

測量了  $\text{CaWO}_4 : \text{Nd}^{3+} : \text{Na}^+$  单晶的兩個熒光帶的絕對量子效率，在室溫下用 0.58 微米的波長激發，測得中心波長為 1.06 微米和 0.90 微米兩個熒光帶的量子效率分別為  $\eta_{1.06} = 0.27$  和  $\eta_{0.90} = 0.20$ 。用同樣方法測得羅達明 B 的熒光絕對量子效率為 0.90。表明所用方法沒有明顯的系統誤差。

## (一) 引言

摻鈸鈷酸鈣是典型的一種激光工作物質，它的特點是效率高，振盪阈值低，易于在室溫下產生連續受激發射〔1,2〕，因而使用較廣。至于它的熒光特性已在文獻〔3-6〕中有過比較詳細的研究。但其熒光量子效率報導尚未見到。

本文敘述我們在室溫下測定  $\text{CaWO}_4 : \text{Nd}^{3+} : \text{Na}^+$  单晶熒光絕對量子效率的初步結果及對測量方法和結果的討論。

## (二) 測量方法及裝置

我們知道， $\text{CaWO}_4 : \text{Nd}^{3+} : \text{Na}^+$  的發光是各向異性的〔6〕。因此對於它的熒光量子效率的測定就應首先考慮這一特性，否則將會引起較大的誤差。為此目的，我們採用了積分球法〔7〕來完成這一測定，從而避免了這一困難。

其實驗裝置如圖 1 所示。圖中 S 為 1000 W 超高壓汞燈，它經由單色光儀 M 分光後，取 0.58 微米的黃光射在樣品上，後者置於內

徑为 100 毫米，內涂  $\text{MgO}$  的积分球中。

在测量激发光强  $I_1$ （用  $\text{MgO}$  板代替样品）和未被样品吸收的残余光强  $I_2$  时，我們采用滤光片  $F_1$ （即 V G 9）滤去荧光而透过激发光；测量荧光强度  $I_3$  时，则采用滤光片  $F_2$ （即 R G 8），其作用恰好与  $F_1$  相反。图 I 中的  $P_{\text{L}}$  为光电倍加管  $\phi \text{ ey}-22$ ， $D_m$  为放大指示系統，H . T 为电源。考慮到  $\text{CaWO}_4 : \text{Nd}^{3+}$  的荧光光譜是一个极宽的荧光带，在求它的效率时必须采用

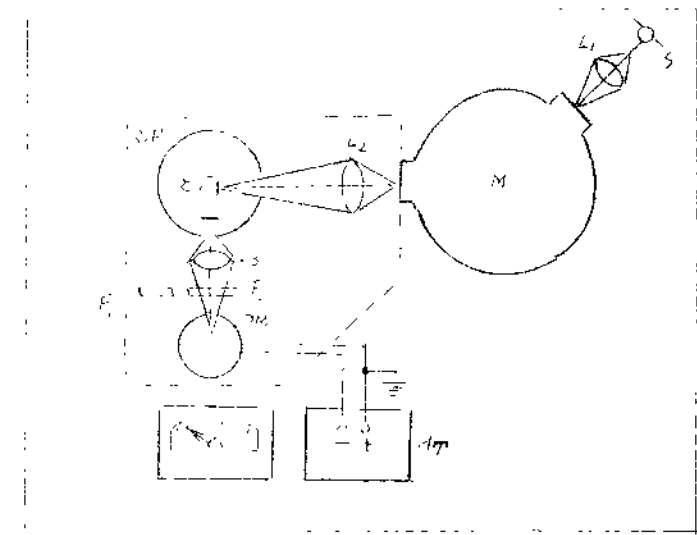


图 1 测定  $\text{CaWO}_4 : \text{Nd}^{3+}$  荧光量子效率的装置

它的平均波长。同时在注意到各种校正因素之后，我們得到发光体的荧光量子效率为：

$$\eta = \frac{1}{\lambda_0} \cdot \frac{I_3 t(\lambda_0) \xi(\lambda_0)}{I_1 / R - I_2} \cdot \frac{\int \lambda \cdot E(\lambda) d\lambda}{\int \xi(\lambda) t(\lambda) E(\lambda) d\lambda}; \quad (1)$$

式中  $\lambda$  为波长， $\xi(\lambda)$  为光电倍加管的光譜灵敏度， $t(\lambda)$  为滤光片的光譜透过率， $R$  为  $\text{MgO}$  板的反射率， $E(\lambda)$  为发光体的荧光能量分布。脚标“0”是对激发光而言的。

由于  $\text{CaWO}_4 : \text{Nd}^{3+} : \text{Na}^+$  单晶的发光是偏振的，因此对  $E(\lambda)$  的测定亦需将样品置于积分球中来进行。但这时的困难是光强弱，为此我們采用了光栅强光分光計〔8〕来完成这一熒光光譜的測定。所得結果如图 2 所示。

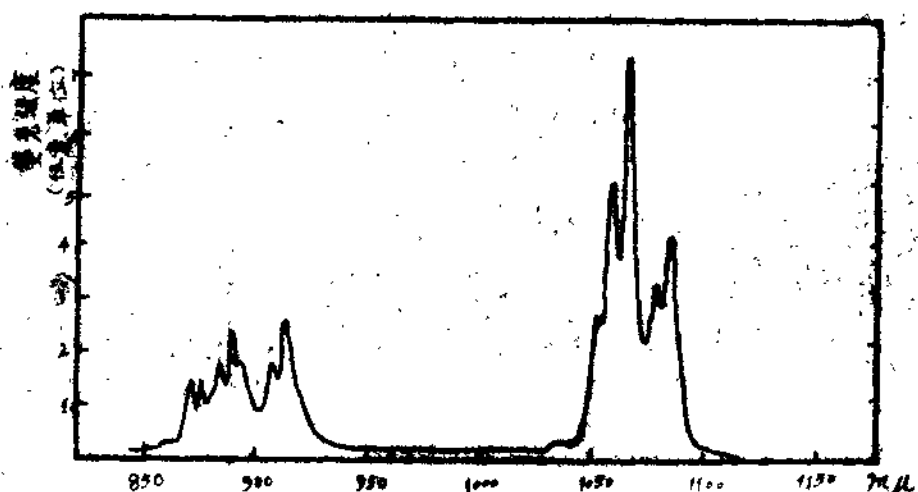


图 2  $\text{CaWO}_4 : \text{Nd}^{3+}$  的熒光光譜

利用上述方法，我們初步測定了含钕量約為 1% (Ca 与 Na 原子数之比) 的  $\text{CaWO}_4 : \text{Nd}^{3+} : \text{Na}^+$  单晶的两个熒光帶的熒光量子效率，得到  $\eta_{0.90} = 0.20 \pm 0.04$  ( ${}^4\text{F}_{3/2} \rightarrow {}^4\text{I}_{9/2}$ , 0.90 微米)

和  $\eta_{1.06} = 0.27 \pm 0.05$  ( ${}^4\text{F}_{3/2} \rightarrow {}^4\text{I}_{11/2}$ , 1.06 微米)

当我们分析誤差时，发现光电倍加管的光譜灵敏度引入的誤差很大。为了避开这种影响，后来我們曾用高蒸池（英國 Unicam 出品）来代替光电倍加管对以上結果进行核时，得到  $\eta_{0.90} + \eta_{1.06} = 0.53 \pm 20\%$ 。两者基本上符合。当然，这里的問題是高蒸池的灵敏度不如光电倍加管那么高，因此为了提高进入接收器的光强，我們沒有采用分光系統，而用一時交叉（“正交”）滤光片来进行測量的。光源用的是 Osram-200W 超高压汞灯，并用  $\text{CuSO}_4$  饱和溶液加  $\text{KCl}$  - 1.6 黃色滤光片来选择 0.58 微米的激发光，而交叉滤光片則是用的

V G 9 和 R G 8 加 1.4 mm 厚的水层。

### (二) 驗証——罗达明 B 的 $\eta$ 值

为了全面地驗証用积分球法測定熒光量子效率的正确性，我們也对有机熒光染料罗达明 B 的熒光量子效率用同样的方法进行了測量，得到的結果与公牘值十分接近。測量中首先需要考慮的問題是避免发光的濃度猝灭和減弱熒光的再吸收的影响。（从图 3 可以看到，罗达明 B 的吸收光譜和发光光譜間有着部分的重迭。）因此，我們試用低濃度  $1 \times 10^{-4}$  g/ml ~  $1 \times 10^{-5}$  g/ml 或更稀的溶液来进行測量，并把液池做得尽可能的小而薄（但保証足够的信号强度）。用汞綫 4358 埃来激发，它远离熒光带而便于用滤光片（O G 4 和 B G 5）分离。測量中除了需对探测系統的光譜灵敏度和滤光片的光譜透过率进行校正以外，还需将液池的非激活吸收（約 7%）加以扣除。溫度猝灭尚不明显〔9〕（我們未进行溫度猝灭校正）。

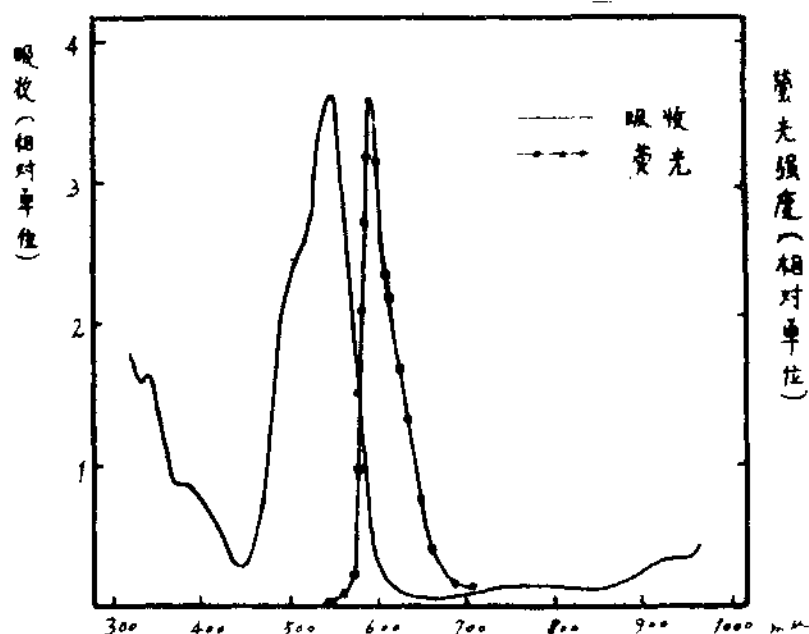


图 3 罗达明 B 甘油溶液的吸收和熒光光譜

在完成上述手續之後，我們得到的關於羅達明 B 甘油溶液的結果列入表 1 中，同時也列出其他作者的結果。

濃度 (g/ml)	$5 \times 10^{-5}$	$1 \times 10^{-4}$	$4 \times 10^{-4}$	Аленцев	Weber
熒光平均波長 ( $\text{m}\mu$ )	600	$\sim 600$	$\sim 600$	600	
量子效率	0.94	0.91	0.91	0.87	0.89

注：(1)液池為  $< 1.5$  毫米直徑的球狀體（置於積分球內）；

(2)測量時的室內溫度  $29^\circ\text{C}$ ，激發光波長  $4358 \text{ Å}^\circ$ 。

以上結果很好地與 M. N. Аленцев [10]，В. И. Вавилов [9] 及 Weber [11] 等的結果相符合。從而表明我們所用的積分球法沒有明顯系統誤差。

### 四 討 論

通過以上實驗和驗證，我們測得  $\text{CaWO}_4 : \text{Nd}^{3+}$  的  $^4F_3/2 \rightarrow ^4I_{11/2}$  和  $^4F_3/2 \rightarrow ^4I_{9/2}$  兩熒光帶的量子效率之和已占 4.7%，但還存在  $^4F_3/2 \rightarrow ^4I_{13/2}$ ,  $^4F_3/2 \rightarrow ^4F_{15/2}$  兩個長波段的熒光帶 [5]，它們由於條件所限尚未被測定，但從熒光譜的溫度猝滅知道這種熒光材料有很高的熱激活能  $h\Delta\vartheta = 1.3 \times 10^{-12}$  尔格 [6]，我們設想，另外兩能級的效率亦可能較高。

就測量方法而論，積分球法有以下優點：

- (1) 它可以消除熒光的各向異性對量子效率測定的影響；
- (2) 方法簡單，勿需測定樣品的透過、反射、散射的損失，因而累積誤差較小；
- (3) 對樣品的加工要求不高。

但也有以下缺點：

- (1) 積分球減弱了輸出光強，故需提高光源強度和接收系統的灵敏度；

(2) 对于控制与调节样品的温度来说还是比较麻烦的事。

本工作得到了刘顺福同志的热情支持与帮助；孙敬贤同志帮助测定了光电倍加管的相对光谱灵敏度，特此致谢。

### 参 考 文 献

- (1) L. F. Johnson, G. D. Boyd, K. Nassau, R.R. Soden.  
Proc. IRE, 50, 213 (1962).
- (2) А. А. Каминский, Л. С. Корнченко, Г.В. Максимова,  
Б.В. Осико, А.М. Прохоров, Г.П. Шипуло, ЖЭТФ,  
49 вып.1 (7), 31, (1965)
- (3) L. F. Johnson, J. Appl. Phys., 34, 897 (1963)
- (4) L. F. Johnson, R. A. Thomas, Phys. Rev. 131, 2038 (1963)
- (5) А.Е. Карисс, А.Н. Морозова, Л.П. Феофилов. Спр. и  
спектр., 17 827 (1964)
- (6) 摻钕镍酸镧发光性能（本次会议上宣读报告）。
- (7) 黄永楷, 李宏章, 受激光发射论文汇编 I, 呂大元主编 第 257  
页, 1964。
- (8) 刘顺福, 陈愈熳, 吴金康, 测定发光参数用的光栅强光分光计  
(将发表)
- (9) 辽夫申, 液体和固体的光致发光, 許少鴻, 張志三譯科学出版社  
1958。
- (10) М. Н. Аленцев, Труды. Физ. Института А.Н. СССР, 5 501 (1950)
- (11) G. Weber, F. W, J. Teals. Trans. Faraday Soc. 53,  
646 (1967)